

函館高専 正員 佐野信房
ク ラ 清水誠一

1. まえがき

時日と熟練を要するせん断試験等を行なうことなしに適当な精度をもって砂質土のせん断抵抗角中を求める方法を模索してきた。これまでには直接せん断試験(箱型一面せん断)によって粒度分布、粒径、表面性状(丸味のものと角張ったもの)が中に与える影響を見い出そうと努めてきた。しかしながら直せんはやはり精度上難点があり、かつそれらを数値的に分離除外することが困難であるため、三軸圧縮試験により検討することとした。その結果これまでより高い精度で ϕ を推定することができるようになった。

2. 試料と試験方法

試料は従来と同様碎石粉をソイルミキサーでカクハシ角張りをヒって丸味をおびるようにしたものを表-1に示すように4種類にフルイ分け炉乾燥したものである。

供試体直径50mm高さ125mmを標準とし、供試体の直立方法は真空方式である。載荷はヒズミ制御($\dot{\epsilon} = 1\%/\text{分}$)、非排水条件、側圧は0.5, 1.0, 2.0, 3.0, 4.0 kg/cm^2 の5段階とした。

初期間ゲキ比は作成できるもっとも密なもの、ゆるいもの、およびその中间2種の計4種類に変化させた。

3. 試験結果と考察

(i) 側圧と最大軸差応力との関係

図-1(b)のように一直線上に並ぶもの(R⑦, ⑥)と図-1(a)の $\sigma_3 = 4.0$ のように測定点が外れる場合(R⑤, ④)とがある。このことはせん断抵抗を一義的に決定することはできず、土粒子に作用する有効応力の大小によって ϕ が左右されることを意味し、モールの応力円への包絡線が折れ曲がることと同一の現象である。R⑤は折れ曲がりが明瞭であり密な場合には $\sigma_3 = 3.0 \text{ kg}/\text{cm}^2$ から、 $\sigma_3 = 4.0 \text{ kg}/\text{cm}^2$ になると全ての場合において外れている。R⑥は $\sigma_3 = 4.0$

表-1 試料の物理常数

| 試料 | 粒径 mm | Cu | $D_{50} \text{ mm}$ | e_{\max} | e_{\min} |
|----|--------------|-----|---------------------|------------|------------|
| R⑤ | 0.84 ~ 2.0 | 1.6 | 1.59 | 1.037 | 0.663 |
| R⑥ | 0.42 ~ 0.84 | 1.4 | 0.59 | 1.087 | 0.631 |
| R⑦ | 0.25 ~ 0.42 | 1.3 | 0.325 | 1.169 | 0.684 |
| R⑧ | 0.074 ~ 0.25 | 1.9 | 0.135 | 1.190 | 0.677 |

$G_s = 2.669$ 丸味をおびている

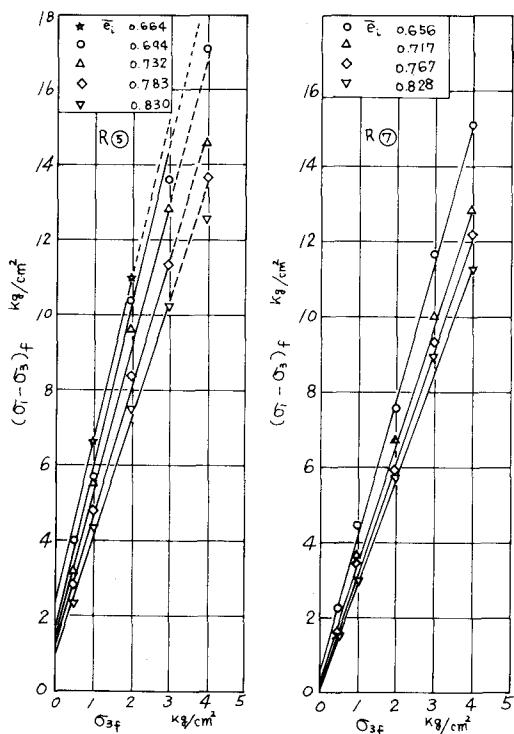


図-1 側圧と最大軸差応力との関係

kg/cm^2 のとき外れるものが多く、R⑤, ⑥はこの側圧では外れるものはなかった。この影響を入れ始めると、Cの算出に際しては上述のようなデータを除くこととした。

(ii) 初期間ケキ比と最大軸差応力との関係 e_i と $(\sigma_i - \sigma_3)_f$ との関係の一例を図-2 に示す。ほとんどが上に凸なる曲線を描き、直線状に分布しないようである。このことは一齊試験の際にも指摘されているが、そのデータよりもさういふ曲線が得られた。また R⑤ の $\sigma_3 = 4.0 \text{ kg/cm}^2$ の場合について、 $\sigma_3 \sim (\sigma_i - \sigma_3)_f$ を延長して $(\sigma_i - \sigma_3)_f$ を計算してプロットすると図の破線のようになり、 $\sigma_3 \sim (\sigma_i - \sigma_3)_f$ が直線上をなすときには $e_i \sim (\sigma_i - \sigma_3)_f$ は上に凸なる曲線上に分布することが正しいと思われる。またその傾き具合は側圧が高いものほど大きくなることも観察されよう。

(iii) 破壊ヒズミについて

最大軸差応力が得られた時のヒズミ ϵ_f は従来言われているように密なものでは小さく、ゆるいものでは大きく、さらに側圧の高いものほど大きいという結果が得られた。粒径の大小についてみると R⑤ (5.5 ~ 11.5), R⑥ (7 ~ 13), R⑦ (10 ~), R⑧ (11 ~) というように粒径の大なるものは ϵ_f が小さく、変位の小さいうちに破壊が生じている(図-3)。

(iv) セン断抵抗角と見かけの粘着力

試験結果は表-2 のとおりである。R⑤, ⑥については前述のように $\sigma_3 \sim (\sigma_i - \sigma_3)_f$ 直線にのらないデータを除外して算出したものである。このことはやを決定する上で大きな影響を与える。R⑥の試料については $\sigma_3 = 4.0 \text{ kg/cm}^2$ のデータを加えた時と除いた時とでは表に例示した如く $0.3^\circ \sim 1.0^\circ$ の差を生ずることになる。

(v) $e_i \sim \phi$, $D_r \sim \phi$, $D_r \sim C$ の関係について

平均初期間ケキ比 e_i について ϕ をプロットする(図-4)とほぼ直線をなし、その傾きも粒径の大小に拘わらずかなり似通った数値をもつようである。しかしながらゆる詰めの状態においては上に凸なるようにワン曲げを推定しようとする際には甚だ都合

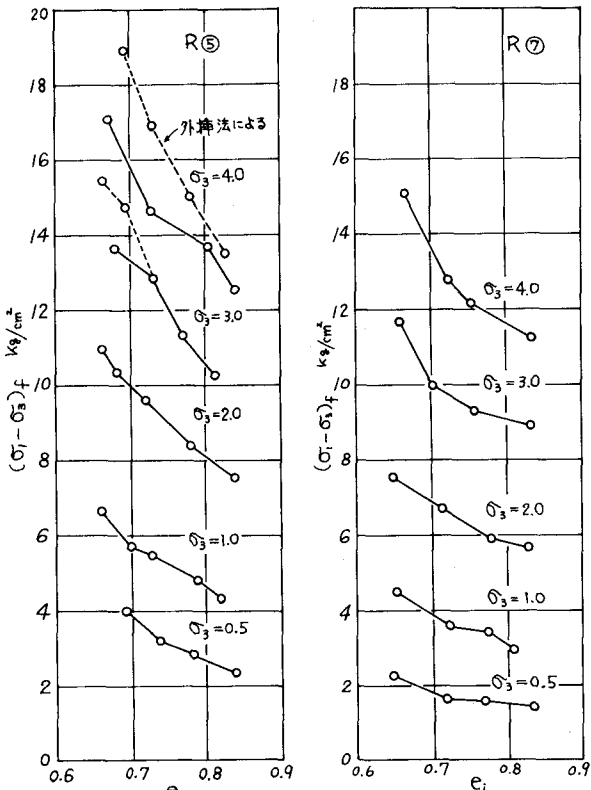


図-2 初期間ケキ比と最大軸差応力との関係

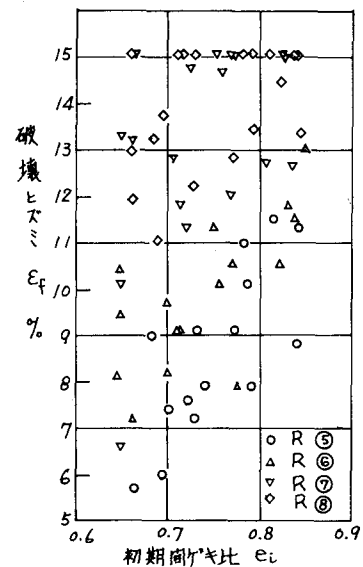


図-3 破壊ヒズミについて

が悪い。そこで相対密度 D_r に対してプロットしてみると(図-5)と多少のズレはあるが直線とみなすにはさほど抵抗を感じない分布が得られ、しかも一定の傾きを示している。従って ϕ を推定するには $\bar{e}_i \sim \phi$ より $D_r \sim \phi$ の方が有利であると考えられる。これを数字で示すと表-3 のように $11.7 \sim 12.8$ ぐらいであって粒径の大小には左右されない。ズレがあるにしても ϕ の値で最大 1° ふつうには 0.5° 以内の誤差である。

見かけの粘着力 C については図-6 のとおりである。乾燥砂であるから従来からの考え方によると $C = 0$ となるはずである。乾燥砂のときには C が測定されるのは測定上の誤差と考えられておりしかも 0.1 kg/cm^2 くらいの大さきまでとされている。これに対して本実験ではかなり大きい場合がある。しかもそれは密度の高いもの、粒径の大きなものについて著しい。これららの状態の試料の場合には ϕ_3 が小さいときからすでにモールの破壊包絡線が折れ曲がり始めるためであって単なる測定の誤差ではないと考えられる。今粘着力がないと考えて各側圧毎に計算した中の一部を表-4 に示す。R(8) の場合にはそう大きな差はない。

表-2 試験結果一覧

| 試料 | \bar{e}_i | D_r | ϕ | $C \text{ kg/cm}^2$ |
|------|-------------|-------|----------------|---------------------|
| R(5) | 0.664 | 1.00 | 43.2 | 0.498 |
| | 0.691 | 0.93 | 41.6 | 0.456 |
| | 0.732 | 0.82 | 41.2 | 0.344 |
| | 0.783 | 0.68 | 39.0 | 0.317 |
| | 0.830 | 0.55 | 37.6 | 0.254 |
| R(6) | 0.652 | 0.95 | 43.5 (43.0) | 0.336 |
| | 0.708 | 0.83 | 42.0 (41.0) | 0.199 |
| | 0.765 | 0.71 | 40.0 (39.1) | 0.151 |
| | 0.838 | 0.55 | 38.4 (38.7) | 0.129 |
| R(7) | 0.656 | 1.06 | 40.2 | 0.133 |
| | 0.717 | 0.93 | 37.8 | 0.068 |
| | 0.767 | 0.83 | 36.9 | 0.043 |
| | 0.828 | 0.70 | 35.9 | 0.026 |
| R(8) | 0.673 | 1.01 | 38.8 | 0.133 |
| | 0.718 | 0.91 | 37.5 | 0.104 |
| | 0.783 | 0.77 | 35.2 | 0.107 |
| | 0.834 | 0.65 | 34.4 | 0.030 |

注 R(5) $\bar{e}_i = 0.664 \quad \phi_3 = 1.0, 2.0 \text{ kg/cm}^2$ の時

その他 $\phi_3 = 4.0 \text{ kg/cm}^2$ を除外

R(6) 上段 $\phi_3 = 4.0 \text{ kg/cm}^2$ を除外

下段()内 4.0 kg/cm^2 を含む

R(7), R(8) 4.0 kg/cm^2 を含む

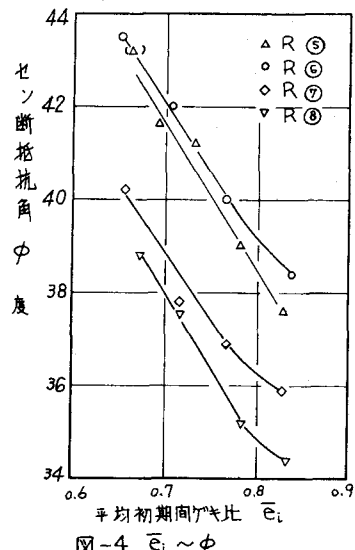


図-4 $\bar{e}_i \sim \phi$

表-3 $D_r \sim \phi$ の傾きと切片

| 試料 | 傾き | 切片 | $D_r=1.0$ ときの ϕ | $D_r=0.5$ ときの ϕ |
|------|-------|-------|-------------------------|-------------------------|
| R(5) | 12.69 | 30.59 | 43.3 | 36.9 |
| R(6) | 12.77 | 31.36 | 44.1 | 37.7 |
| R(7) | 11.73 | 27.30 | 39.0 | 33.2 |
| R(8) | 12.16 | 26.50 | 38.7 | 32.6 |

表-4 $C=0$ としたときのセン断抵抗角

| 試料 | $\phi_3 \text{ kg/cm}^2$ | ϕ° | 試料 | $\phi_3 \text{ kg/cm}^2$ | ϕ° |
|--------------------------------------|--------------------------|--------------|--------------------------------------|--------------------------|--------------|
| R(5) dense $\bar{e}_i = 0.691$ | 0.5 | 53.2 | R(5) loose $\bar{e}_i = 0.830$ | 0.5 | 44.7 |
| | 1.0 | 47.8 | | 1.0 | 43.3 |
| | 2.0 | 46.2 | | 2.0 | 40.8 |
| | 3.0 | 44.0 | | 3.0 | 39.2 |
| R(8) dense $\bar{e}_i = 0.673$ | 0.5 | 43.4 | R(8) loose $\bar{e}_i = 0.834$ | 0.5 | 33.5 |
| | 1.0 | 42.0 | | 1.0 | 36.7 |
| | 2.0 | 40.0 | | 2.0 | 34.5 |
| | 3.0 | 39.6 | | 3.0 | 34.7 |
| | 4.0 | 39.3 | | 4.0 | 34.6 |

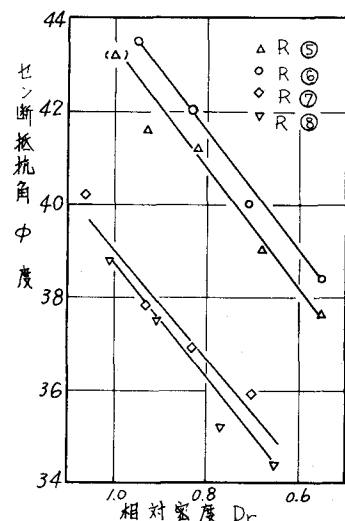


図-5 $D_r \sim \phi$

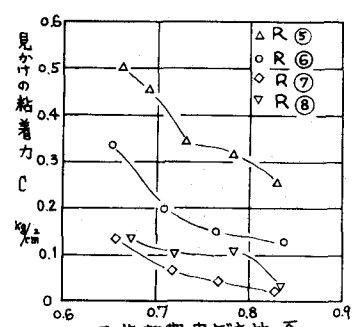


図-6 見かけの粘着力

それに対して R⑤ の場合は側圧が高まるにつれはっきりとした差が生じている。ここには示していないが C の大なるものについてはすこやか傾向がある。

(vi) $D_r \sim \phi$ の傾きと切片

ある砂の任意の状態におけるせん断抵抗角 ϕ を推定するには $D_r \sim \phi$ の傾きと切片を簡単にしかも適確に決定できることが必要である。今回得られた傾きはほぼ同一の値であることからみて、ある一定の表面性状をもち、同じ程度の均等係数 C_u をもつ試料については粒径の大小にかかわらず一定であるとの傾向がある(図-7, 図-8)。しかししながら均等係数が異なったものについては差を生ずるかどうかは不明である。前回直センにより大ざっぱに検討した際には差を生じていたので詳細な調査を要する。

傾きには大差がないとすれば切片が大変重要な常数となるわけである。前回のデータでは均等係数によってはその効果の程度は表現できなかった。今回も同様である(図-7)。そこで 50% 粒径 D_{50} についてプロットしてみると図-8 のとおりである。切片は $D_r=0$ のときの ϕ の値であり、もっともゆるい状態における ϕ というものはある一定の値に近づくべきものではないかとも推定される。しかし実際にはそのようなゆるい状態のものの実測値はなかなか得られない。そこで $D_r=1$ のときの ϕ の値(図-9)についてみるとある程度の様相をつかむことができるとと思われる。そして三軸の場合にはピーカラしきものの存在もみられ Kirkpatrick が述べているように粒径大なる方が常に大なる ϕ をもつものではないようである。

表-3 の数値を用いて ϕ を計算して実測値と比較してみると $-0.9^\circ \sim +0.7^\circ$ (平均 0.23°)、傾きを平均値 12.3° としたときにも $-1.2^\circ \sim +0.9^\circ$ (平均 0.37°) 程度である。

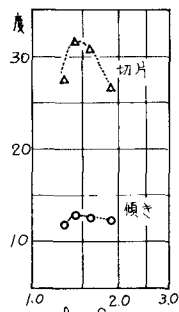


図-7 $D_r \sim \phi$ の傾きと切片(その1)

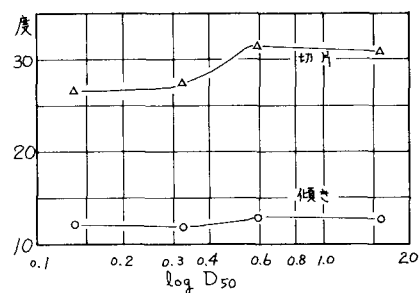


図-8 $D_r \sim \phi$ の傾きと切片(その2)

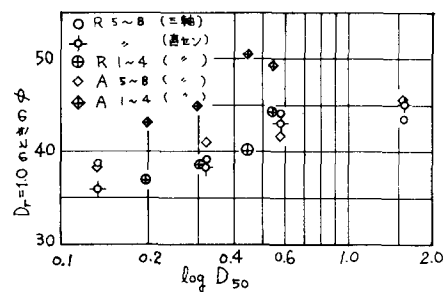


図-9 $D_r=1.0$ 時の ϕ の大小について

4. あとがき

誤差 1° 程度を許容できとすれば $D_r \sim \phi$ を直線とみなせることが確かめられ、また ϕ を相対密度から推定するにはその傾きよりも切片が重要であることが分った。今後は多くの砂についてこの点を確かめると共にその傾きと切片の大小を左右する因子を追求したい。

- 参考文献 1. W. M Kirkpatrick : Effects of grain size and grading , Proc. 6 ICSMFE 1965
 2. 土質工学会 : 土のせん断試験法に関する基礎的研究 1968
 3. 佐野・清水 : 乾燥砂のせん断特性について(第3報) 第6回土質工学研究発表会, 1971